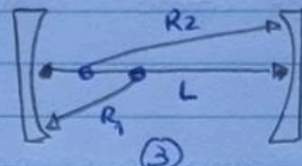
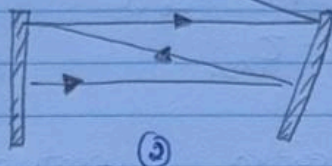
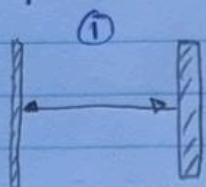


7. Laser Resonators and Gaussian Beams

→ Até agora consideramos sempre que os espelhos do laser eram planos. Mas o que acontece é que se estes espelhos não estão perfeitamente alinhados, paralelos, o raio de luz vai sair da cavidade e "desligar" o laser o que não é o ideal (2)

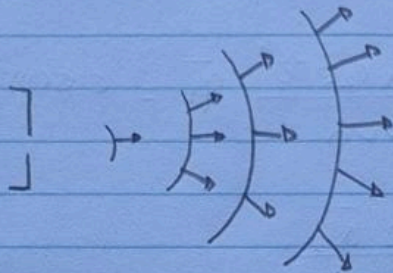
→ Normalmente o que se utiliza para espelhos são superfícies esféricas. (3)



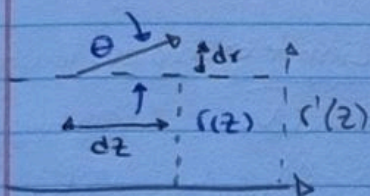
→ Quando o ganho e o índice de refração ^{do meio ativo} são aproximadamente uniformes podemos aproximar os modos do laser como sendo os modos da cavidade vazia.

7.2. A Matriz do Raio

→ O raio ^{geométrico} propaga-se perpendicularmente às frentes de onda. Vamos assumir que a direção do raio é a direção do fluxo de energia.



→ Em situações de interesse prático lidamos com ondas de luz que viajam mais ou menos numa única direção, a z . Os raios geométricos que pensamos são quase paralelos ao eixo do z . E em qualquer ponto, há um raio que possui um deslocamento ~~temporal~~ lateral $r(z)$, medido através do eixo do z e do declive.

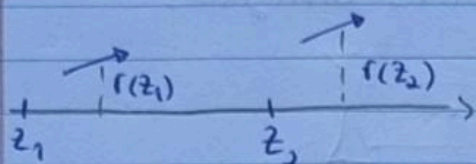


$$r'(z) = \frac{dr}{dz} = \tan \theta \approx \sin \theta \approx \theta$$

$$\theta = \frac{dr}{dz} = r'$$

→ Na aproximação paraxial só precisamos da distância do raio do eixo óptico, r , e a sua inclinação r' . A estes raios chamamos de raios paraxiais. O r' é positivo ou negativo conforme o deslocamento, caso ele aumente ou diminua, respectivamente.

→ se considerarmos o deslocamento e o declive num ponto z_1 com outro ponto z_2 tem-se que, no vácuo como não há meio para alterar a direção do raio:



$$r(z_2) = r(z_1) + r'(z_1)(z_2 - z_1)$$

$$r'(z_2) = r'(z_1)$$

→ Colocando isto numa matriz:
$$\begin{bmatrix} r(z_2) \\ r'(z_2) \end{bmatrix} = \begin{bmatrix} 1 & (z_2 - z_1) \\ 0 & 1 \end{bmatrix} \begin{bmatrix} r(z_1) \\ r'(z_1) \end{bmatrix}$$

→ Assim o raio é completamente caracterizado por uma matriz 2×1 .

$$\begin{bmatrix} r_f \\ r'_f \end{bmatrix} = \begin{bmatrix} 1 & d \\ 0 & 1 \end{bmatrix} \begin{bmatrix} r_i \\ r'_i \end{bmatrix}$$

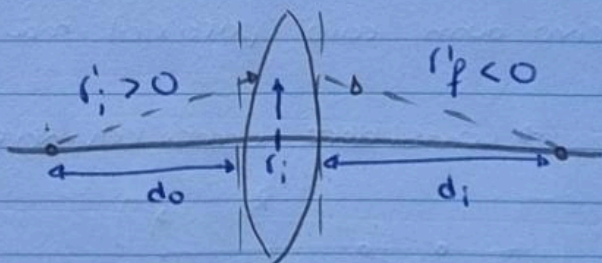
→ Diz-mos como o raio é modificado ao propagar-se em d .

→ Agora se colocarmos o raio a propagar-se por uma lente fina (lente delgada), tem-se que

$r_f = r_i$ (o deslocamento antes e depois é igual)
 (O declive / ângulo r' que muda)

$$r'_f = -\frac{r_i}{d_i} = \frac{r_i}{d_o} - \frac{r_i}{f} = r'_i - \frac{r_i}{f}$$

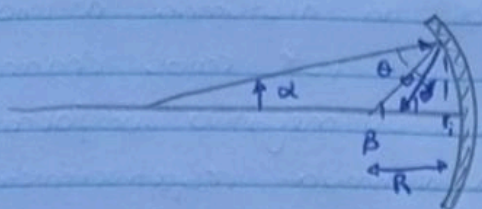
$$\begin{bmatrix} r_f \\ r'_f \end{bmatrix} = \begin{bmatrix} 1 & 0 \\ -1/f & 1 \end{bmatrix} \begin{bmatrix} r_i \\ r'_i \end{bmatrix}$$



→ Outra opção interessante é a colocação de um espelho esférico. Novamente, o deslocamento do raio mantém-se mas o ângulo/slope não:

$$r_i = r_f$$

$$r'_f = r'_i - \frac{2r_i}{2R}$$



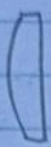
$$\begin{bmatrix} s_f \\ s'_f \end{bmatrix} = \begin{bmatrix} 1 & 0 \\ -2/R & 1 \end{bmatrix} \begin{bmatrix} s_i \\ s'_i \end{bmatrix}$$

Nota

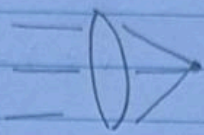
- ↳ $R > 0$ em espelhos côncavos; $R < 0$ em espelhos convexos.
- ↳ $f > 0$: lentes convergentes; $f < 0$: lentes divergentes



côncavo



convexo



convergente



Divergente

→ Em geral: $\begin{bmatrix} s_f \\ s'_f \end{bmatrix} = \begin{bmatrix} A & B \\ C & D \end{bmatrix} \begin{bmatrix} s_i \\ s'_i \end{bmatrix}$ → Matriz do Raio Geométrico

se tivermos várias coisas a multiplicar (espaço¹ - lente² - espaço³) a matriz é

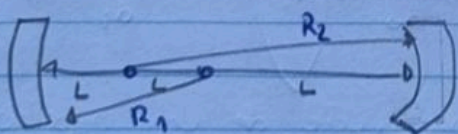
$$[] = []^3 []^2 []^1 []$$

7.3. Condição de estabilidade das cavidades

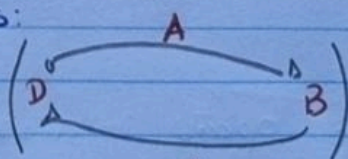
→ Consideremos um raio a propagar-se dentro da cavidade em loop (↺). caso o raio se mantenha dentro da cavidade, esta é estável. caso contrário, é instável.

→ Uma cavidade é considerada estável se a distância do eixo dum raio paraxial não aumenta sem limite.

→ Considere uma cavidade geral, com 2 espelhos esféricos



convexos:



$$\begin{bmatrix} A & B \\ C & D \end{bmatrix} = \begin{bmatrix} 1 & 0 \\ -2/R_1 & 0 \end{bmatrix} \begin{bmatrix} 1 & L \\ 0 & 1 \end{bmatrix} \begin{bmatrix} 1 & 0 \\ -2/R_2 & 1 \end{bmatrix} \begin{bmatrix} 1 & L \\ 0 & 1 \end{bmatrix} \rightarrow \text{1 volta à cavidade}$$

Nota: um espelho reto é considerado um espelho esférico com raio de curvatura infinito.

→ O determinante da matriz resultante é 1, isto porque o produto dos determinantes das 4 matrizes é 1.

→ Sucessivas voltas à cavidade vão fazer com que, ou o raio escape da cavidade ou fique preso lá.

→ Para encontrar a condição que determina se um raio é estável ou instável tem-se que:

$$\begin{bmatrix} r_{s+1} \\ r'_{s+1} \end{bmatrix} = \begin{bmatrix} A & B \\ C & D \end{bmatrix} \begin{bmatrix} r_s \\ r'_s \end{bmatrix} \Rightarrow r_{s+1} = Ar_s + Br'_s \Rightarrow r'_s = \frac{1}{B}(r_{s+1} - Ar_s)$$

$$r'_{s+1} = Cr_s + Dr'_s = \frac{1}{B}(r_{s+2} - Ar_{s+1})$$

$$r'_{s+1} = Cr_s + Dr'_s = Cr_s + D \left[\frac{1}{B}(r_{s+1} - Ar_s) \right] = \frac{1}{B}(r_{s+2} - Ar_{s+1})$$

$$CB r_s + Dr_{s+1} - AD r_s = r_{s+2} - Ar_{s+1}$$

$$r_{s+2} - (A+D)r_{s+1} + (AD - CB)r_s = 0$$

Se $r_s = r_{\max} e^{is\theta}$ para a cavidade ser estável θ tem de ser real.

$$r_{\max} e^{i(s+2)\theta} - (A+D)r_{\max} e^{i(s+1)\theta} + r_{\max} e^{is\theta} = 0$$

$$e^{i\theta}(e^{i2\theta} - (A+D)e^{i\theta} + 1) = 0 \Rightarrow e^{i2\theta} - (A+D)e^{i\theta} + 1 = 0$$

X

! não pode ser zero!

$$e^{i\theta} = \left(\frac{A+D}{2} \pm i \sqrt{1 - \left(\frac{A+D}{2} \right)^2} \right)$$

→ Podemos identificar:

$$e^{i\theta} \cos \theta = \frac{A+D}{2} \rightarrow \text{para que } \theta \text{ seja real:}$$

$$-1 \leq \cos \theta \leq 1$$

$$\begin{bmatrix} A & B \\ C & D \end{bmatrix} = \begin{bmatrix} 1 - \frac{2L}{R_2} & 2L - \frac{2L^2}{R_2} \\ \frac{4L}{R_1 R_2} - \frac{2}{R_1} - \frac{2}{R_2} & 1 - \frac{2L}{R_2} - \frac{4L}{R_1} + \frac{4L^2}{R_1 R_2} \end{bmatrix}$$

$$-1 \leq \left(\frac{A+D}{2} \right) \leq 1 \quad \Leftrightarrow \quad 0 \leq \left(\frac{2 + A+D}{4} \right) \leq 1$$

$$0 \leq \left(\frac{2 + 2 - \frac{4L}{R_2} - \frac{4L}{R_1} - \frac{4L^2}{R_1 R_2}}{4} \right) \leq 1$$

$$0 \leq \left[1 - \frac{L}{R_2} - \frac{L}{R_1} - \frac{L^2}{R_1 R_2} \right] \leq 1 \quad \text{Com digão de Estabilidade}$$

Depende do raio de curvatura e da distância que os separam (L)

$$0 \leq g_1 g_2 \leq 1 \quad ; \quad g_1 = 1 - \frac{L}{R_1} \quad ; \quad g_2 = 1 - \frac{L}{R_2}$$

Notas

- ↳ Lasers HeNe: ~~tem~~ a cavidade hemisférica é comum
- ↳ Lasers de alta potência: cavidade confocal (maior tamanho do feixe)
- ↳ Raios em cavidades instáveis tem um número limitado de voltas antes de sair da cavida. Pode ser útil para os lasers pulsados de alta potência.

25/11/2022

7.4. A Equação Paraxial

→ Neste capítulo vamos ~~averg~~ averiguar uma aproximação da solução de Maxwell para as equações das ondas. Sabemos que a equação do campo elétrico no vácuo é dada por:

$$\nabla^2 E(\vec{r}, t) - \left(\frac{m}{c} \right)^2 \frac{\partial^2}{\partial t^2} E(\vec{r}, t) = 0 \quad (\text{equação da onda escalar})$$

↳ tem em conta interferência

→ Como estamos interessados nas ondas / difração mas não polarização campos monocromáticos então:

$$E(\vec{r}, t) = E(\vec{r}) e^{-i\omega t}$$

→ Substituindo em cima, obtem-se a equação Helmholtz:

$$\nabla^2 E(\vec{r}) + k^2 E(\vec{r}) = 0 \quad , \quad k = \frac{m\omega}{c}$$

→ Há algumas soluções para aquela equação

- Onda plana: $E(\vec{r}, t) = E_0 e^{-i(\vec{k} \cdot \vec{r} - \omega t)}$

- Onda esférica: $E(\vec{r}, t) = \frac{E_0}{r} e^{-i(\vec{k} \cdot \vec{r} - \omega t)}$

→ Da ótica sabemos que temos soluções do tipo:

$$E(\vec{r}) = E_0 u(\vec{r}) e^{i(kz)}$$

→ Para a variação lenta, assumimos que não há variações no λ ou em Δz . Quando $\Delta E \ll E$, tendo em conta distâncias, então $\Delta z \sim \lambda$.

→ A inclinação dos raios é sempre pequena (variação rápida)

Aproximação Paraxial

$$\sin \theta \sim \tan \theta \sim \theta$$

$$\cos \theta \sim 1$$

$$\nabla^2 E(\vec{r}) + k^2 E(\vec{r}) = 0$$

1ª Derivada:

$$\frac{\partial}{\partial z} (u(\vec{r}) e^{ikz}) = \left(\frac{\partial u}{\partial z} + ik \right) e^{ikz}$$

2ª Derivada

$$\frac{\partial}{\partial z} \left[\left(\frac{\partial u}{\partial z} + ik \right) e^{ikz} \right] = \left[\frac{\partial^2 u}{\partial z^2} + 2 \frac{\partial u}{\partial z} ik - k^2 \right] e^{ikz}$$

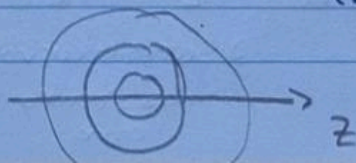
→ Na aproximação de envelope lenta tem-se que:

$$\lambda \left| \frac{\partial u}{\partial z} \right| \ll |u| \quad \text{ou} \quad \lambda \left| \frac{\partial^2 u}{\partial z^2} \right| \ll \left| \frac{\partial u}{\partial z} \right|$$

$$\boxed{\nabla^2 u(\vec{r}) + 2ik \frac{\partial u(\vec{r})}{\partial z} = 0} \quad \text{Equação da onda paraxial}$$

$$\frac{4\pi i}{\lambda} \frac{\partial u(\vec{r})}{\partial z}$$

→ Para uma onda esférica tem-se que: $E(r) = E_0 \exp \frac{ik(r-r_0)}{(r-r_0)}$
onde a onda esférica é emitida em r_0 .



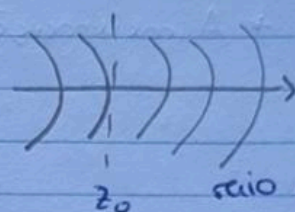
$$\begin{aligned}
 (r-r_0) &= \sqrt{(x-x_0)^2 + (y-y_0)^2 + (z-z_0)^2} \\
 &= (z-z_0) \sqrt{\frac{(x-x_0)^2 + (y-y_0)^2}{(z-z_0)^2} + 1} \sim (z-z_0) + \frac{(x-x_0)^2 + (y-y_0)^2}{2(z-z_0)} \\
 &\quad \text{bmt pequeno}
 \end{aligned}$$

$$E(x, y, z, t) \sim E_0 e^{ik(z-z_0)} \underbrace{\frac{e^{ik \frac{(x-x_0)^2 + (y-y_0)^2}{2(z-z_0)}}}{(z-z_0) + \frac{(x-x_0)^2 + (y-y_0)^2}{2(z-z_0)}}}_{u(r)} \rightarrow \text{bmt pequeno}$$

→ Se $R(z) = (z-z_0)$:
 ↳ raio de curvatura da frente de onda

$$u(x, y, z) = R_0 \frac{e^{ik \frac{(x-x_0)^2 + (y-y_0)^2}{2R(z)}}}{R(z)}$$

↳ Raio de curvatura
 na referência arbitrária no z_0



raio de curvatura
 aumenta com
 a distância

→ O que vimos até agora é que temos frentes de onda esféricas e um tamanho do feixe infinito. O que não é ideal para uma descrição de um feixe laser.

→ Uma solução muito simples é introduzir uma parte complexa que irá limitar o tamanho do feixe, isto é, quando x é relativamente grande a parte imaginária vai limitar x .

$$R(z) \rightarrow q(z) = q_0 + z \Rightarrow \frac{1}{q(z)} = \frac{1}{R(z)} + \frac{i}{\pi w^2(z)} = \frac{1}{R(z)}$$

$$u(r) = \frac{q(0)}{q(z)} \exp \left[i k \frac{(x^2 + y^2)}{2R(z)} \right] \exp \left[- \frac{x^2 + y^2}{w^2(z)} \right]$$

Esta parte é uma fase
 (que varia com z)

Esta parte é real e descreve
 a variação na direção
 perpendicular à direção de
 propagação do feixe (x, y)

$$u(r) = \frac{q(0)}{q(z)} \exp \left[i k \frac{x^2 + y^2}{2} \left\{ \text{Re} \left[\frac{1}{q(z)} \right] + i \text{Im} \left[\frac{1}{q(z)} \right] \right\} \right]$$

Descreve a curvatura
 das frentes de
 onda

Limita o tamanho do feixe
 tem de ser positivo para confinar
 o feixe

7.5. Feixes Gaussianos

→ A intensidade de propagação de uma onda, com ~~uma~~ forma de beam, na direção do eixo dos z ~~tem~~ é nula a uma certa distância do eixo z .

→ Uma certa distância, w , define a largura do feixe, isto porque:

$$u(r) = \frac{q(0)}{q(z)} \exp\left[ik \frac{x^2 + y^2}{2R(z)}\right] \exp\left[-\frac{x^2 + y^2}{w^2(z)}\right]$$

\hookrightarrow Define o confinamento do feixe

→ E agora, o raio de curvatura muda:

$$R(z) = R_0 + (z - z_0) \Rightarrow q(z) = q_0 + z \Rightarrow \frac{1}{R(z)} = \operatorname{Re}\left[\frac{1}{q(z)}\right]$$

→ Assim definimos um novo plano de referência, onde q é puramente imaginário (z_0).

$$R_{\text{onda esférica}} = q_0 + z, \text{ a } z=0 \rightarrow R_{\text{onda esférica}} = q_0 = q(z=0)$$

\downarrow
puramente imaginário

→ Ou seja, quando $\operatorname{Im}\left[\frac{1}{q(z)}\right] \neq 0$ então:

$$\frac{1}{q}(z=0) = \frac{1}{-i\pi w_0^2} = \frac{i}{\pi w_0^2} = i z_R$$

\rightarrow Distância de Rayleigh

→ No geral tem-se que: $q(z) = -iz_R + z$. Na posição de referência a frente de onda é plana. Quando a frente de onda tem uma curvatura mais apertada é possível que: $z = z_R$ (mínimo).

$$\frac{1}{q} = \frac{1}{-iz_R + z} = \frac{z + iz_R}{z^2 + z_R^2} = \frac{1}{R(z)} + \frac{i}{\pi w^2(z)}$$

$$\operatorname{Re}\left[\frac{1}{q(z)}\right] = \frac{z}{z^2 + z_R^2} = \frac{1}{R(z)} \Rightarrow R(z) = \frac{z^2 + z_R^2}{z}$$

→ Quando $z=0$, R vai tender para o ∞ . Inicialmente ao afastar de z_0 , R diminui e depois aumenta. R mínimo encontra-se em $z = z_R$.

$$\text{Im} \left[\frac{1}{q(z)} \right] = \frac{z_R}{z^2 + z_R^2} = \frac{\lambda}{\pi w^2(z)} \quad * \Rightarrow w(z) = w_0 \sqrt{\frac{z^2}{z_R^2} + 1}$$

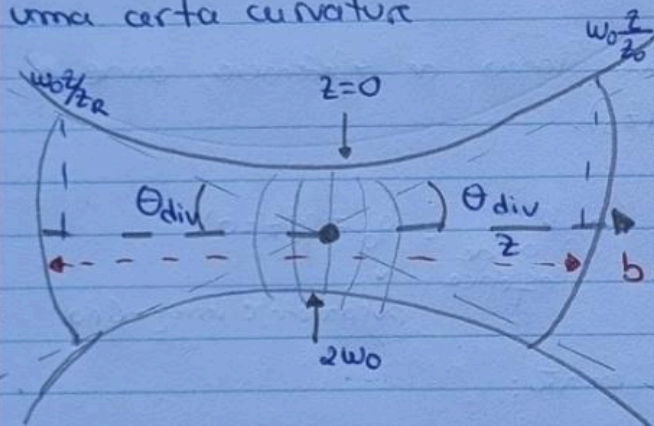
→ Em $z=0$, $w=w_0$. Ao afastar de $z=0$, w aumenta sempre. Quando $z=z_R$, $w^2=2w_0^2$ isto é a área transversal do feixe aumenta dum fator de 2.

*

$$\frac{\lambda}{\pi w^2(z)} = \frac{z_R}{z^2 + z_R^2} \quad \therefore w^2(z) = \frac{\lambda}{\pi} \frac{z^2 + z_R^2}{z_R} = \frac{\lambda z_R}{\pi} \left(\frac{z^2}{z_R^2} + 1 \right)$$

$$z_R = \frac{\pi w_0^2}{\lambda} = w_0^2 \left(1 + \frac{z^2}{z_R^2} \right)$$

→ Na divergência e convergência, as frentes de onda ganham uma certa curvatura



$$\text{Para } z > z_R \Rightarrow w = w_0 \frac{z}{z_R}$$

$b = z z_R$ Parâmetro confocal, onde a área do feixe é $\propto z$

* Quanto menor a largura da curvatura mínima w_0 , menor a distância de Rayleigh e assim sendo maior a taxa de crescimento de w com a distância em z .

Isto é parecido a quando uma onda plana é difratada por uma abertura circular num visor opaco. Quanto menor a abertura D , maior a difração. Isto acontece aqui quanto menor w_0 maior $w(z)$. Pode-se então definir um ângulo de divergência:

$$\theta_{\text{div}} = \frac{w(z)}{z} = \frac{w_0 \frac{z}{z_R}}{z} = \frac{w_0}{z_R} = 1.22 \cdot \frac{\lambda}{D}$$

a que abertura circular

$$\theta_{\text{div}} = w_0 \frac{\lambda}{\pi w_0^2} = \frac{\lambda}{\pi w_0} \quad \text{temos na realidade}$$

→ Se voltarmos a $u(r)$, vemos que $\frac{q_0}{q(z)}$ é complexo e como tal irá induzir uma fase, Fase de Guoy $q(z)$

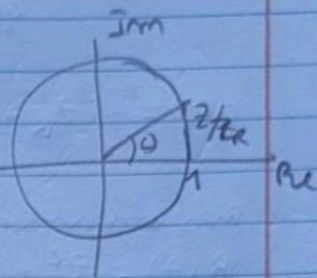
$$u(r) = \frac{q_0}{q(z)} e^{i k \frac{x^2+y^2}{2R(z)}} e^{-\frac{x^2+y^2}{w^2(z)}}$$

$$\frac{q_0}{q(z)} = \frac{-i z_R}{-i z_R + z} = \frac{1}{1 + i z/z_R}$$

$$\left(1 + i \frac{z}{z_R}\right) = \sqrt{1 + \frac{z^2}{z_R^2}} e^{i\theta}, \quad \theta = \tan^{-1}\theta =$$

$$\tan \theta = \frac{z}{z_R}$$

$$\frac{q_0}{q(z)} = \frac{w_0}{w(z)} e^{-i \tan^{-1}\left(\frac{z}{z_R}\right)} \quad \text{Fase de Guoy}$$



→ Ao passar pelo foco há uma adição de fase extra.

→ Se olharmos agora para a irradiância ao longo do eixo ótico temos que:

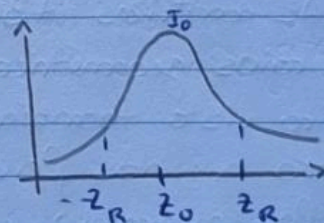
$$I(r, z) = \frac{1}{2} \epsilon_0 c n |E(r, z, t)|^2 = I_0 \left[\frac{w_0}{w(z)} \right]^2 \exp \left[-2 \left(\frac{r}{w(z)} \right)^2 \right]$$

$$I(0, z) = \frac{I_0}{1 + (z/z_R)^2}$$

→ Ao longo da distância a intensidade vai diminuir:

→ Quando $r = w(z)$:

$$I(w(z), z) = I_{\text{máx}} e^{-2} = 0,135 I_{\text{máx}}$$



→ Para se obter a potência calcula-se o integral da irradiância:

$$P = 2\pi \int_0^\infty r dr I(r, z) = \int_0^{2\pi} d\theta \int_0^\infty r dr I(z, r)$$

Se:

$$S = \frac{2r^2}{w^2(z)} \quad e \quad dS = \frac{4r dr}{w^2(z)} \Rightarrow = 2\pi \cdot \frac{1}{4} \int_0^\infty dS e^{-S} I(z, r) = 2\pi I(z, r)$$

$$P = 2\pi I_0 \omega_0^2 \int_0^\infty \frac{r dr}{w^2(z)} e^{-\left(\frac{r}{w(z)}\right)^2} = \frac{\pi}{2} I_0 \omega_0^2 \quad (\text{é independente de } z)$$

Resumo

$$E(r, z, t) = \frac{1}{q(z)} e^{ik \frac{r^2}{2q(z)}} e^{i(kz - \omega t)}$$

$$q(z) = -iz_R + z \quad ; \quad z_R = \frac{\pi \omega_0^2}{\lambda} \quad ; \quad \frac{1}{q(z)} = \frac{1}{R(z)} + \frac{i\lambda}{\pi w^2(z)}$$

Raio de curvatura das frentes de onda

$$R(z) = \frac{z^2 + z_R^2}{z}$$

Tamanho transversal do feixe

$$w(z) = w_0 \sqrt{1 + \frac{z^2}{z_R^2}}$$

$$\theta = \frac{w_0}{z_R} = \frac{\lambda}{\pi w_0}$$

Só é preciso saber a posição da "cintura mínima" ($z=0$), w_0 e λ

7.6. The ABCD law for Gaussian Beams

→ Descobrimos então que um feixe gaussiano se mantém à medida que se propaga no vácuo. A largura do feixe ~~em~~ muda tal como o raio de curvatura, mas a onda e a sua forma mantêm-se.

→ As matrizes ABCD são convenientes para seguir a propagação dos raios geométricos. Embora possa parecer estranho, à primeira vista também se pode descrever a variação do parâmetro q dos feixes Gaussianos.

→ Por exemplo, calcular a transformação de q_2 num feixe Gaussiano:

$$\frac{1}{q_2} = \frac{C + D/q_1}{A + B/q_1}$$

→ Vejamos alguns casos simples: Para a propagação no espaço livre tem-se em conta a seguinte matriz:

$$H = \begin{bmatrix} 1 & d \\ 0 & 1 \end{bmatrix}$$

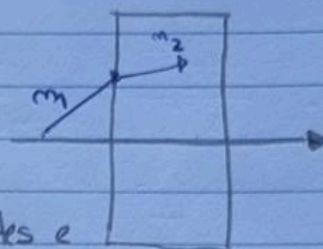
→ Para q_2 :

$$q_2 = \frac{Aq_1 + B}{Cq_1 + D} \Rightarrow q(z+d) = \frac{q(z) + d}{0 + 1}$$

$$q(z+d) = q(z) + d = iz_R + z + d \text{ (a parte imaginária mantém-se)}$$

→ Se tivermos um meio com índice de refração n :

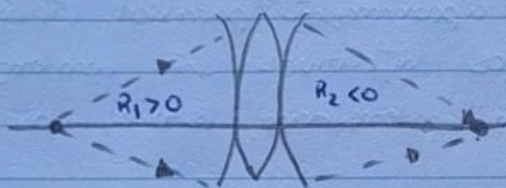
$$M = \begin{bmatrix} r_2 \\ \theta_2 \end{bmatrix} = \begin{bmatrix} 1 & 0 \\ 0 & n_1/n_2 \end{bmatrix} \begin{bmatrix} r_1 \\ \theta_1 \end{bmatrix}$$



Para mudanças de meio/
interface

Temos isto antes e
depois do bloco

→ Numma lente delgada



$$\frac{1}{f} = \frac{1}{d_o} + \frac{1}{d_i} ; \begin{bmatrix} 1 & 0 \\ -1/f & 1 \end{bmatrix}$$

→ A frente de onda incidente é equivalente a uma fonte pontual colocada à distância $d_o = R_1$.

→ À saída da lente do feixe, o raio de curvatura da frente de onda é equivalente a uma onda esférica que converge a uma distância $d_i = -R_2$.

→ Então:

$$\frac{1}{f} = \frac{1}{R_1} - \frac{1}{R_2}$$

→ Como a lente é muito fina $\omega_1^2 = \omega_2^2$ (o tamanho a entrar é igual ao tamanho a sair. Como $R_1 > 0$ e $R_2 < 0$:

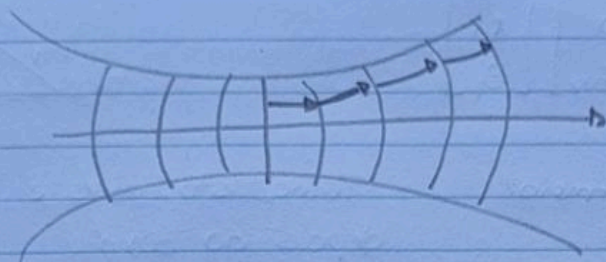
$$\frac{1}{q_2} = \frac{1}{R_2} + i \frac{\lambda}{\pi \omega_2^2} = \frac{1}{R_1} - \frac{1}{f} + i \frac{\lambda}{\pi \omega_2^2} = \frac{1}{q_1} - \frac{1}{f}$$

$\omega_2^2 \parallel \omega_1^2$

$$M = \begin{bmatrix} 1 & 0 \\ -1/f & 1 \end{bmatrix}$$

Implicações

→ É talvez inesperado que a solução da equação de onda possa ser propagada usando regras de ótica geométrica. Mas acontece, o feixe gaussiano ao propagar-se tem diferentes frentes de onda, onde os ângulos seguem uma onda ~~de~~ gaussiana. Isto é, o feixe mantém-se com a forma gaussiana quando se propaga num sistema ótico com a aproximação paraxial.



→ Um conjunto de raios geométricos com uma distribuição de intensidade gaussiana segue a propagação do feixe gaussiano perfeitamente dentro da aproximação paraxial. (Transformações de Wigner) Todos os efeitos difrativos são contemplados na distribuição Gaussiana da intensidade, isto é, no valor $q(z=0) = -iz_R$.

→ Para a equação de Schrödinger apenas 2 condições iniciais bastam para descrever a evolução da onda. A equação da onda paraxial é formalmente igual à equação de Schrödinger em 2 dimensões.

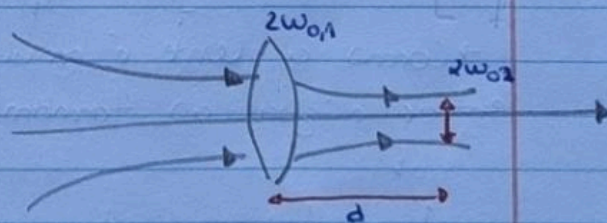
→ Consideremos o caso particular onde uma lente fina é colocada na cintura mínima do feixe gaussiano:

$$\frac{1}{q_1} = \frac{1}{R_1} + \frac{i\lambda}{\pi w_{0,1}^2} = \frac{i\lambda}{\pi w_{0,1}^2} = \frac{i}{z_{R,1}}$$

$$\frac{1}{q_2} = \frac{C + D/q_1}{A + B/q_1} = -\frac{1}{f} - \frac{i\lambda}{\pi w_{0,1}^2}$$

Se d for a distância entre as cinturas mínimas então:

$$M = \begin{bmatrix} 1 & d \\ 0 & 1 \end{bmatrix} \begin{bmatrix} 1 & 0 \\ -\frac{1}{f} & 1 \end{bmatrix} = \begin{bmatrix} 1 - \frac{d}{f} & d \\ -\frac{1}{f} & 1 \end{bmatrix} \Rightarrow A = 1 - \frac{d}{f}; B = d; C = -\frac{1}{f}; D = 1$$



Nota:

se $f > 0$ o feixe tem um novo foco onde vai convergir

$$\frac{1}{q_2} = \frac{-1/f + 1/q_1}{1 - d/f + d/q_1} = \frac{-1 + i f/z_{R1}}{f - d + i f d/z_{R1}}$$

$$= \frac{-(f-d) + d(f/z_{R1})^2}{(f-d)^2 + (f d/z_{R1})^2} + i \frac{f d/z_{R1} + (f-d)(f/z_{R1})}{(f-d)^2 + (f d/z_{R1})^2}$$

$\frac{1}{R_2} \rightarrow$ dist. a unit. alt.
no foco

$$\frac{\lambda}{\pi w_2^2}$$

\rightarrow No foco, onde $R_2 \rightarrow \infty$:

$$(f-d) = d \left(\frac{f}{z_{R1}} \right)^2$$

$$d = \frac{f}{1 + (f/z_{R1})^2}$$

d é ligeiramente menor
que f

\rightarrow quando $d \approx f$ ou $f/z_{R1} \ll 1$, $1/q_2$ é unicamente imaginário:

$$\frac{1}{q_2} = i \frac{z_{R1}}{f^2} = i \frac{1}{z_{R2}}$$

$$i \frac{\lambda}{\pi w_{01}^2 f^2} = \frac{i \pi w_{02}^2}{\lambda}$$

$$\frac{\pi w_{02}^2}{\lambda} = \frac{f^2 \lambda}{\pi w_{01}^2} \quad \therefore \quad w_{02} = \sqrt{\frac{f^2 \lambda^2}{\pi^2 w_{01}^2}} = \frac{\lambda f}{\pi w_{01}}$$

$$\Rightarrow df \approx \frac{4 \lambda f}{\pi \text{dim}} \rightarrow \text{Limite de difração}$$

Para concentrar o feixe,

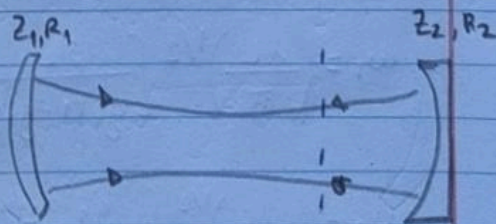
\rightarrow ele vai ser mt + divergido

\rightarrow Isto indica que o feixe Gaussiano pode ser concentrado num ponto muito pequeno. Temos então o limite de Rayleigh na onda plana:

$$df = 2,44 \frac{\lambda f}{\text{dim}}$$

7.7. Modos do feixe Gaussiano

\rightarrow Um modo é um "campo próprio" da cavidade, isto é, depois de uma volta à cavidade o parâmetro q do feixe Gaussiano volta ao seu valor inicial.



\rightarrow Vamos examinar isto com a Lei de ABCD:

$$q(z) = \frac{Aq(z) + B}{Cq(z) + D}, \text{ para qualquer posição } z \text{ dentro da cavidade}$$

→ Ao ser refletido, pelos espelhos, a forma do feixe não pode alterar, pelo que o raio de curvatura da frente de onda tem de ser igual ao raio de curvatura do espelho, para que a reflexão não altere a frente de onda.

$$R(z_1) = z_1 + \frac{z_0^2}{z_1} ; R(z_2) = z_2 + \frac{z_0^2}{z_2} = R_2 ; z_2 - z_1 = L$$

→ Usando estas 3 equações cria-se um sistema de modo a encontrar as 3 incógnitas, z_1 , z_2 e z_0 :

$$z_1 = \frac{-L(R_2 - L)}{R_1 + R_2 - 2L} ; z_2 = \frac{L(R_1 - L)}{R_1 + R_2 - 2L} ; z_0^2 = \frac{L(R_1 - L)(R_2 - L)(R_1 + R_2 - L)}{(R_1 + R_2 - 2L)^2}$$

→ como $z_0^2 = \left(\frac{\pi \omega_0^2}{\lambda} \right)$ $\Rightarrow \omega_0 = \left(\frac{\lambda}{\pi} \right)^{1/2} \left[\frac{L(R_1 - L)(R_2 - L)(R_1 + R_2 - L)}{(R_1 + R_2 - 2L)^2} \right]^{1/4}$

→ Relembrando a condição de estabilidade, para o feixe poder oscilar na cavidade, tem de ter parâmetros adequados.

$$0 \leq g_1 g_2 \leq 1$$

→ Assim pode-se representar os w em termos de g :

$$g_1 = \left(1 - \frac{L}{R_1} \right) \quad R_1 - L = R_1 \left(1 - \frac{L}{R_1} \right) = R_1 g_1$$

$$g_2 = \left(1 - \frac{L}{R_2} \right) \quad R_2 - L = R_2 g_2$$

$$z_1 = \frac{-L g_2 (1 - g_1)}{g_1 + g_2 - 2g_1 g_2} ; z_2 = z_1 + L$$

$$\omega_1 = \left(\frac{\lambda L}{\pi} \right)^{1/2} \left[\frac{g_2}{g_1 (1 - g_1 g_2)} \right]^{1/4} ; \omega_2 = \left(\frac{\lambda L}{\pi} \right)^{1/2} \left[\frac{g_1}{g_2 (1 - g_1 g_2)} \right]^{1/4}$$

$$\omega_0 = \left(\frac{\lambda L}{\pi} \right)^{1/2} \left[\frac{g_1 g_2 (1 - g_1 g_2)}{(g_1 + g_2 - 2g_1 g_2)^2} \right]^{1/4} = \text{Spot size at beam waist}$$

Condição de ressonância

→ A forma de onda gerada no espelho da esquerda e da direita pelo feixe gaussiano que se propagam de um lado para o outro formam um modo de ressonância. Como eles não se mudam apesar de sucessivas reflexões, o padrão da onda mantém-se constante.

→ A fase do feixe gaussiano ao longo do eixo ótico ($r=0$) é dada por:

$$\theta(z) = Kz - \tan^{-1}\left(\frac{z}{z_0}\right)$$

→ Se o modo é ressonante, depois de uma volta à cavidade a fase adquirida é múltiplo de 2π . Então ao fim de meia volta será π :

$$\theta(z_2) - \theta(z_1) = K(z_2 - z_1) - \left[\tan^{-1}\left(\frac{z_2}{z_0}\right) - \tan^{-1}\left(\frac{z_1}{z_0}\right) \right] = m\pi, m=1,2,3, \dots$$

$$\Rightarrow \nu = \frac{Kc}{2\pi} \rightarrow \text{Frequências de Ressonância}$$

$$\nu_m = \frac{c}{2L} \left(m + \frac{1}{\pi} \cos^{-1} \sqrt{g_1 g_2} \right) \rightarrow \text{Modos de ressonância}$$

→ O espaçamento entre modos é dado por:

$$\Delta\nu = \nu_m - \nu_{m-1} = \frac{c}{2L}$$

→ Em comparação com os espelhos planos:

$$g_j = 1 - \frac{L}{R_j} \rightarrow 1 \quad \nu_m = m \frac{c}{2L}$$

7.8. Hermite-Gaussian and Laguerre-Gaussian Beams

Lo Prof diz que não é mt relevante

→ Na realidade, o mundo é ainda mais complexo do que o que tratamos até agora: é possível termos modos transversais maiores do que os fundamentais, a partir da equação de onda paraxial.

→ Há soluções tipo: polinômios Hermite, funções de Hermite-Gaussianas (soluções da equação de Schrödinger para o oscilador harmônico).

Solução de ordem n tem n zeros.

Polos de Laguerre Gauss

↳ considera-se o x e o y ; simetria cilíndrica.